

HANDBUCH  
der  
BESTIMMENDEN  
MINERALOGIE,

enthaltend  
die Terminologie, Systematik, Nomenklatur  
und Charakteristik

der  
NATURGESCHICHTE DES MINERALREICHES.



Von

WILHELM HAIDINGER,

k. k. wirklichem Bergrath, Mitglied der kön. Preuss. Akademie der  
Wissenschaften zu Berlin, der kön. Gesellschaften zu Prag und  
Edinburgh, u. s. w.

---

WIEN,

BEI BRAUMÜLLER & SEIDEL.

1845.



2. Tropfbare. Tropfbar. G. = 1·8...1·9.

4      S. Schwefelsäure.

IV. BORAXSÄURE. Fest. G. = 1·4...1·5.

1. Prismatische. Anorthisch. Schuppenförmig. Geschmack, säuerlich, dann bitterlich kührend, endlich süßlich.

5      *Sassolin.*  $\ddot{\text{B}} + 3\dot{\text{H}}$ . Natürliche Borsäure.

V. ARSENIKSÄURE. Fest. G. über 3·0.

1. Oktaedrische. Tessular. Theilb., Oktaed. Geschmack, süßlich zusammenziehend, schwach. H. = 1·5. G. = 3·6...3·8.

6      *Arsenit.* H.  $\ddot{\text{A}}$ . Arsenige Säure.

#### IV. Ordnung. SALZE.

I. NATRONSALZ. Orthotyp, augitisch. Geschmack, scharf, laugenhaft. H. = 1·9...1·5. G. = 1·4...1·6.

1. Hemiprismatisches. Augitisch  $\frac{A}{2} = 79^\circ 41'$ . Fig. 1.

$\infty \ddot{\text{A}} 2 = 76^\circ 28'$ . Abweichung der Axe =  $3^\circ 0'$  in der Ebene  $\infty \ddot{\text{D}}$ . Fig. 1. Theilbarkeit  $\frac{\dot{\text{H}}}{2} = 58^\circ 52'$ . Weniger deutlich  $\infty \ddot{\text{D}}$  und  $\infty \ddot{\text{A}} 2$ . H. = 1·0...1·5, G. = 1·4...1·5.

1      *Natron.*  $\text{NaC} + 10\dot{\text{H}}$ . Kohlensaurer Natron.



Fig. 1.

2. Prismatisches. Orthotyp.  $\ddot{\text{D}} = 83^\circ 50'$ .  $\infty \ddot{\text{A}} 2 = 107^\circ 50'$ . Fig. 2. Theilbarkeit  $\infty \ddot{\text{D}}$  unvollkommen. H. = 1·5. G. = 1·5...1·6.

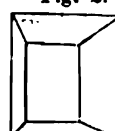


Fig. 2.

3      *Thermanatrit.* H.  $5\text{NaC} + 4\dot{\text{H}}$ . Kohlensaurer Natron.

II. TRONASALZ. Augitisch. Geschmack, laugenhaft, stechend. H. = 2·5...3·0. G. = 2·1...2·2.

1. Prismatoidisches. Augitoid  $\frac{A}{2} = 47^\circ 30'$ . Fig. 3.

Theilbarkeit  $\infty \ddot{\text{H}}$  vollk. Spuren nach  $\frac{A}{2}$  und  $\frac{\dot{\text{H}}}{2}$ .

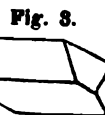


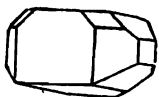
Fig. 3.

3      *Trona.* Klaproth.  $\text{Na}_2\text{C}_3 + 4\dot{\text{H}}$ . Urso.

III. GLAUBERSALZ. Augitisch. Geschmack, kührend, dann salzig-bitter, schwach. H. = 1·5...2·0. G. = 1·4...1·5.

**1. Prismatisches.** Augitoid  $\frac{A}{2} = 93^\circ 12'$ .  $\infty \bar{A}2 = 86^\circ 31'$ .

**Fig. 4.** Abweichung der Axe  $14^\circ 41'$ , in der Ebene  $\infty \bar{D}$ .

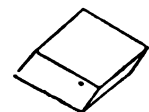


**Fig. 4.** Theilbarkeit  $\infty \bar{H}$  sehr vollkommen. Spuren von  $\frac{\bar{H}}{2} = 72^\circ 15'$  und  $\infty \bar{D}$ .

**4** *Mirabilit.* H. Sal mirabile.  $\text{NaS} + 10\text{H}_2\text{O}$ . Glaubersalz. Exanthalose.

**5** *Reussin.* KARSTEN. Büschelförmige, flockige Krystalle. Weiss. Glaubersalzgeschmack. Franzensbad, Böhmen.  $\text{NaS}$ ,  $\text{MgS}$ ,  $\text{MgCl}$ .

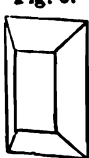
**IV. NITRUMSALZ.** Rhomboedrisch, orthotyp. Geschmack, salzig, kühlend.  $H = 1.5 \dots 2.0$ .  $G = 1.9 \dots 2.1$ .



**Fig. 5.** **1. Rhomboedrisches.** Rhomboeder  $R = 106^\circ 33'$ . **Fig. 5.** Theilb. R.  $H = 1.5 \dots 2.0$ ,  $G = 2.1$ .

*Nitratin.* H. (Nitratineenfamilie, FRÖBEL.)  $\text{NaN}$ . Salpetersaures Natron. Chilisalpeter.

**6** **Fig. 6.** **2. Prismatisches.** Orthotyp.  $2\bar{D} = 71^\circ 0'$ ,  $\infty O = 119^\circ 0'$ . Theilbarkeit  $\infty O$ , etwas leichter  $\infty \bar{D}$ .  $H = 2.0$ ,  $G = 1.9 \dots 2.0$ .



*Salpeter.*  $\text{KN}_3$ .

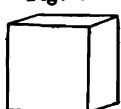
**8** *Nitrocalcit.* SHEPARD. Weisse oder graue zarte Ausblühung. Kentucky.  $\text{CaN} + \text{H}_2\text{O}$ .

**9** *Nitromagnesit.* SHEPARD. Weisse oder graue zarte Ausblühung. Kentucky.  $\text{MgN} + \text{H}_2\text{O}$ .

**10** *Quecksilbersalpeter.* JOHN. Weiss. Aehnlich Weissbleierz. Johannegeorgenstadt.  $\text{HgN}_3$ .

**V. STEINSALZ.** Tessularisch. Geschmack, salzig.  $H = 2.0$ ,  $G = 2.2 \dots 2.3$ .

**Fig. 7.** **1. Hexaedrisches.** Tessularisch. Fig. 7. Theilbarkeit Hexaeder, vollkommen.



*Salz.*  $\text{NaCl}$ . Steinsalz, Kochsalz, Seesalz, Spak.

**11** *Sylvin.* BEUDANT. Tessularisch. Theilb. Hexaeder. Weiss. Geschmack, salzig.  $\text{KNaCl}$ . Kaliumchlorur, Digestivals des Silvius.

**VI. AMMONIAMSALZ.** Tessularisch, orthotyp. Geschmack, stechend.  $H = 1.5 \dots 2.5$ ,  $G = 1.5 \dots 1.73$ .

## 1. Oktaedrisches. Tessularisch. Fig. 8.

Theilb. Oktaeder.  $H = 1\cdot5\dots2\cdot0$ ,  $G = 1\cdot5\dots1\cdot6$ .

Fig. 8.

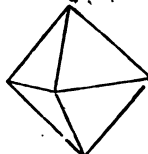
13 *Salmiak*.  $\text{NH}_4\text{Cl}$ .2. Prismatisches. Orthotyp. Prisma  $\infty O$  $= 72^\circ 20'$ ,  $D = 121^\circ 16'$ . Fig. 9. Theilbarkeit  $\infty D$  vollkommen,  $O$  unvollkommen;  $\infty D$  Spuren.  $H = 2\cdot0\dots2\cdot5$ ,  $G = 1\cdot7\dots1\cdot73$ .

Fig. 9.

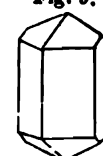
14 *Mascagnin*. REUSS.  $\text{NH}_4\text{S} + \text{H}_2\text{S}$ . Schwefelsaures Ammon.VII. VITRIOLSALZ. Orthotyp, augitisch, anorthisch. Strich, ungefärbt. Geschmack, zusammenziehend.  $H = 2\cdot0\dots2\cdot5$ ,  $G = 1\cdot8\dots2\cdot3$ .1. Hemiprismatisches. Augitisch.  $\frac{A}{2} = 101^\circ 35'$ , $\infty A = 82^\circ 21$ . Abweichung der Axe =  $14^\circ 20'$ , in der Ebene  $\infty D$ . Fig. 10. Theilbarkeit  $O$ . Etwas weniger vollkommen  $\infty A$ . Neigung von  $O$  gegen  $\infty A = 99^\circ 23'$ . Farbe, grün.  $H = 2\cdot0$ ,  $G = 1\cdot8\dots1\cdot9$ .

Fig. 10.

15 *Melanterit*. BEUDANT.  $\text{FeS} + 6\text{H}_2\text{O}$ . Eisenvitriol.

Melanteria. PLINIUS.

16 *Bieberit*. H. Augitisch, ähnlich dem Eisenvitriol. Rosenroth. Geschmack, zusammenziehend. Bieber, Hanau, Hessen. ( $\text{Co}, \text{Mg}$ )  $\text{S} + 7\text{H}_2\text{O}$ . Kobaltvitriol.17 *Coquimbit*. BREITHAUPT. Rhomboedrisch.  $Q = 128^\circ 8'$ ,  $58^\circ 0'$ .Fig. 11. Weiss ins Violblaue. Zusammenziehender Fig. 11. Geschmack. Copiapo, Coquimbo, Chili.  $\text{FeS}^3 + 9\text{H}_2\text{O}$ . Neutrales schwefelsaures Eisenoxyd. H. Rosz.18 *Copiapit*. H. Niedrige sechsseitige Prismen, anscheinend nicht regelmässig. Theilbarkeit monoton, vollkommen. Perlmutterglanz. Gelb durchscheiend. Copiapo.  $\text{Fe}^2\text{S}^3 + 18\text{H}_2\text{O}$ . Basisch schwefelsaures Eisenoxyd mit Krystallisationswasser. H. Rosz. Ein strahliges  $2\text{FeS}^3 + 21\text{H}_2\text{O}$ . Dieses vielleicht Fibroferit, PRIDEAUX.19 *Tektizit*. BREITHAUPT. Orthotyp. Nadelförmige Krystalle. Nickenbraun.  $H = 1\cdot5\dots2\cdot0$ . Geschmack, schwach, metallisch u. zusammenziehend. Zerfleissend. Schwarzenberg, Sachsen.  $\text{Fe}_2\text{S}_3$ . Brauntsalz.20 *Vitriolocker*. BERZELIUS. Erdig, ochergelb, mit Botryogen in Fahlun vorkommend.  $\text{Fe}^2\text{S}^3 + 6\text{H}_2\text{O}$ .

Fig. 12.

**2. Tetartoprisma tisches. Anorthisch.** Fig. 12.

Theilbarkeit, zwei Flächen von geringer ungleicher Vollkommenheit. Neigung  $149^\circ 2'$ . Farbe, blau.  $H = 2\cdot5$ ,  $G = 2\cdot2\dots2\cdot3$ .

21



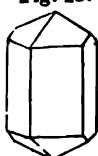
**Vitriol.**  $\text{CuS} + 5\text{H}$ . Kupfervitriol.

Fig. 13.

**3. Prismatisches. Orthotyp.**  $O = 127^\circ 27'$ ,

$126^\circ 45', 78^\circ 5'.$   $\infty O = 90^\circ 42'$ . Fig. 13. Theilb.  $\infty\bar{D}$ , sehr vollk. Farbe, weiss.  $H = 2\cdot0\dots2\cdot5$ ,  $G = 2\cdot0\dots2\cdot1$ .

22



**Goslarit.**  $H$ . (Der goslarische von KLAPROTH analysirt.)  $\text{ZnS} + 7\text{H}$ . Zinkvitriol.

**VIII. BOTRYOGENSALZ.** Augitisch. Strich, ochergelb. Geschmack, schwach, zusammenziehend.  $H = 2\cdot0\dots2\cdot5$ ,  $G = 2\cdot04$ .

Fig. 14.

**1. Hemiprismatisches. Augitisch.** —  $\frac{A}{2}$



$= 125^\circ 22'$ . Fig. 14. Theilbarkeit  $\infty A = 119^\circ 56'$ ,  $\infty\bar{A}2 = 81^\circ 44'$  Spuren. Farbe braun.

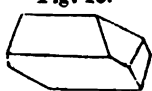
23

**Botryogen.** HAIDINGER.  $\text{Fe}^3\text{S}^2 + 3\text{FeS} + 36\text{H}$ . Néoplasie.

**IX. EUCHLORSALZ.** Augitisch. Geschmack, bitter, zusammenziehend. Strich, blassgrün.  $H = 2\cdot0\dots2\cdot5$ ,  $G = 3\cdot19$ .

Fig. 15.

**1. Hemiprismatisches. Augitisch**  $\infty A$



$= 69^\circ 0'$ . Abw. der Axe  $= 4^\circ 20'$ , in der Ebene  $\infty\bar{D}$ . Endkantenwinkel der Fig. 15  $= 51^\circ 28'$ .

Theilb.  $\infty A$ ;  $\infty\bar{D}$  Spuren. Farbe, lebhaft, grasgrün.

24

**Johannit.** HAIDINGER.  $\text{CuS}$ ,  $\text{US}$ ,  $\text{H}$ . Uranvitriol. JOHN.

**X. BITTERSALZ.** Orthotyp. Theilbarkeit, vollkommen. Geschmack, salzig, bitter.  $H = 2\cdot0\dots2\cdot5$ .  $G = 1\cdot7\dots1\cdot8$ .



**Fig. 16.** **1. Prismatisches. Orthotyp.**  $O = 127^\circ 22'$ ,  $126^\circ 48', 78^\circ 7'$ .  $\infty O = 90^\circ 38'$ . Tetraedrische Hemiedrie. Fig. 16. Theilbarkeit  $\infty\bar{D}$ .

25

**Epsomit.** BEUDANT.  $\text{MgS} + 7\text{H}$ . Bittersalz.

26

**Astrakanit.** G. ROSE. Prismatische Krystalle. Weiss. Durchsichtig. Unter dem Salze der karrduanischen Bitterseen an der östlichen Seite der Wolgamündung.  $\text{NaS} + \text{MgS} + 4\text{H}$ . Sal calcaricum Astrachanense.

XI. ALAUNSALZ. Tessularisch. Geschmack, süßlich, zusammenziehend.  $H = 2.0 \dots 2.5$ ,  $G = 1.7 \dots 1.8$ .

Fig. 17.

1. Oktaedrisches. Tessularisch. Fig. 17.

Theilbarkeit. Oktaeder unvollkommen.

- 27 *Alaun*. Kalialaun.  $K\ddot{S} + \ddot{Al}\ddot{S}^3 + 24H$ . Ammoniakalaun.
- 28 *Voltait*. SCACCHI. Tessularisch. Oktaeder. Schwarz. Strich, grünlichgrau. In Wasser löslich. Solfatara von Puzzuolo.  $Fe\ddot{S} + Fe\ddot{S}^3 + 13\frac{1}{2}H$ . Anstatt Fe etwas K u. Al. Eisenalaun.
- 29 *Pickeringit*. HAYES. Faserig. Durchscheinend, Seidenglanz. Weiss, zart röthlich oder grünlich.  $G = 1.78 \dots 1.80$ . Alaungeschmack. Iquique, Peru.  $Mg\ddot{S} + \ddot{Al}\ddot{S}^3 + 22H$ . Talkalaun.
- 30 *Alaunerde-Subsesquisulfat*. THOMSON. Derb, fasrig, Seidenglanz. Weiss, theils röthlich. Alaungeschmack.  $G = 1.584$ . Süd Peru. Na, Al, S, H. Natronalaun.
- 31 *Keramohalit*. GLOCKER. Derbe Massen, nach einer Richtung leicht theilbar. Fasrig. Perlmuttenglanz. Weiss. Geschmack alaunartig.  $H = 1.5 \dots 2.0$ ,  $G = 1.625 \dots 1.65$ . Copiapo, Chili. Saldana, Columbien.  $\ddot{Al}\ddot{Si}^3 + 18H$ . Neutrale schwefelsaure Thonerde mit Wasser. Davy. Alunogen. Solfstarit. Haarsalz.
- 32 *Halotrichit*. GLOCKER. Haarförmige Krystalle. Fasrig. Weiss ins Graue und Gelbe.  $H = 2.0$ . Geschmack, zwischen Vitriol und Alaun.  $F\ddot{S} + \ddot{Al}\ddot{S}^3 + 24H$ . Eisenoxydulaun. Haarsalz, Federalaun, Haarvitriol.
- 33 *Hversalt*. FORCHHAMMER. Feine Nadeln, ausblühend auf vulkanischen Gesteinen, Island. Ein Alaun, Mg, Fe, Al, S, H.
- XII. BORAXSALZ. Augitisch. Geschmack, süßlich-alkalisch, schwach.  $H = 2.0 \dots 2.5$ ,  $G = 1.7 \dots 1.8$ .
1. Prismatisches. Augitisch.  $\frac{A}{2} = 120^\circ 23'$ ,  $\infty\ddot{A}2 = 88^\circ 9'$ . Keine Abw. der Axe. Queraxe, senkrecht auf  $\infty\ddot{D}$ . Fig. 18. Theilb.  $\infty\ddot{A}2$ , etwas leichter  $\infty\ddot{D}$ .
- 34 *Borax*.  $Na\ddot{B} + 10H$ . Tinkal.
- XIII. PIKROCHYLINSALZ. Orthotyp. Theilbarkeit unvollkommen. Geschmack, unangenehm, bitter, schwach.  $H = 2.5 \dots 3.0$ ,  $G = 1.73$ .

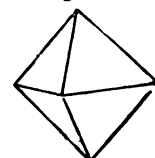
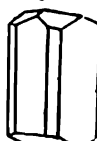


Fig. 18.

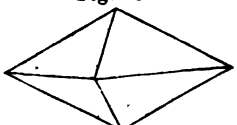


1. Prismatisches. Orthotyp.  $O = 131^\circ 15'$ ,  $112^\circ 32'$ ,  
Fig. 19.

$81^\circ 34'$ . Fig. 19. Theilbarkeit  $\infty\bar{D}$  unvollkommen.  $\infty\bar{D}$ ,  $\bar{D}$  noch unvollommener.



35 Fig. 20.



Arcanit. H. (Arcanum duplicatum.) K $\ddot{S}$ .

Schwefelsaures Kali. Aphthalose.

Thenardit. CASASECA. Orthotyp. Fig. 20.

Theilbarkeit  $\infty\bar{D}$  vollkommen. Glasglanz.

Weiss. Geschmack, schwach salzig. G. = 2.7.

Espartines, Spanien. Na $\ddot{S}$ .

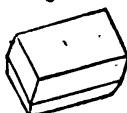
37 Löweit. H. Spur von Theilbarkeit nach einer Richtung. Bruch [muschlig. Glasglanz. Gelblichweiss bis fleischroth. Durchscheinend. In manchen Varietäten dem Feueropal ähnlich. Geschmack, schwach salzig, zusammenziehend. H. = 2.5...3.0, G. = 2.376. Ischel, Salzkammergut, derb mit Anhydrit verwachsen. Na, Fe, S, H. LöWE.

38 Blödit. JOHN. Derb. Dünntäglich. Splittrig. Fleisch...ziegelroth. Weich. Ischel. Na, Mg, S, Cl.

XIV. BRITHYN SALZ. Orthotyp, augit. Geschmack, salzig, zusammenziehend oder bitter, schwach. H. = 2.5...3.5. G. = 2.75...2.85.

1. Hemiprismatisches. Augitisch.  $\frac{A}{2} = 116^\circ 20'$ ,  $\infty A$

Fig. 21.



$= 116^\circ 20'$ ,  $\infty A = 83^\circ 20'$ . Abweichung der Axe

$= 21^\circ 44'$  in der Ebene  $\infty\bar{D}$ . Fig. 21. Theilbarkeit

o vollkommen. Spuren von  $\infty A$ . Neigung von 0 gegen  $\infty A = 104^\circ 15'$ . H. = 2.5...3.0, G. = 2.75...2.85.

39 Glauberit. BRONGNIART. Na $\ddot{S}$  + Ca $\ddot{S}$ . Brongniartin.

2. Prismatisches. Orthotyp.  $\infty O = 115^\circ 0'$ . Theilbarkeit  $\infty O$  unvollkommen. H. = 3.5, G. = 2.76.

40 Polyhalit. STROMEYER. K $\ddot{S}$  + Mg $\ddot{S}$  + 2Ca $\ddot{S}$  + 2H.

#### Zweitē Klasse: GEOGENIDE.

##### I. Ordnung. HALOIDE.

1 Oxalsaurer Kalk. Augitisch.  $\infty A = 100^\circ 36'$ . Neigung von 0 gegen  $\infty A = 103^\circ 14'$ .  $\bar{D} = 74^\circ 50'$ . Neigung von 0 gegen  $\frac{H}{2} = 109^\circ 28'$ . Weiss. H. = 2.5...2.75. Auf Kalkspath aufsitzend. BROOK. Ca $\ddot{C}$  + H. SANDALL.